

СХОДИМОСТЬ АНАЛИТИЧЕСКОГО РАСЧЕТА СВАИ НА ГОРИЗОНТАЛЬНУЮ СТАТИЧЕСКУЮ НАГРУЗКУ С РАСЧЕТОМ ПО МЕТОДУ КОНЕЧНЫХ ЭЛЕМЕНТОВ

В. А. Пшеничкина, В. В. Дроздов, С. И. Строк
Волгоградский государственный технический университет

В процессе проектирования зданий и сооружений часто возникает необходимость в расчете свай на горизонтальные нагрузки. Существуют различные способы проведения таких расчетов. Так, профессор Б. Н. Жемочкин предлагал рассчитывать сваю как стержень в упругом полупространстве. Более подробно о предпосылках и положениях такого расчета можно ознакомиться в его соответствующем труде [1]. Данный способ предполагает большие для своего времени вычисления, которые сегодня нетрудно автоматизировать. Составим программу, проведем расчет свай и сравним результат с расчетом по методу конечных элементов.

Предположим, что мы имеем круглую железобетонную сваю диаметром 500 мм и длиной 10,5 м, погруженную в песчаный грунт на глубину 10 м. Соответственно, длина оголовка сваи будет составлять 0,5 м. На оголовок воздействуют статические нагрузки: горизонтальная сила 10 тс и изгибающий момент 1 тс·м.

Составляем программу в наиболее распространенной системе компьютерной алгебры Mathcad [2]. Последовательно вводим исходные данные: длину забивки сваи L_{sp} , длину оголовка сваи L_{hp} и ширину (в данном случае диаметр) сваи b_p . Все единицы измерения длины – в метрах:

$$L_{sp} := 10 \quad L_{hp} := 0.5 \quad b_p := 0.5$$

Вводим параметры, характеризующие жесткостные характеристики сваи, в частности момент инерции круглого сечения сваи I_p , m^4 , и модуль упругости материала сваи E_p , тс/ m^2 , условно принимаемый как для тяжелого бетона класса В25, который в соответствии с действующими нормативными документами [3] равен 30000 МПа (около 3×10^6 т/ m^2):

$$I_p := \frac{\pi \cdot b_p^4}{64} \quad E_p := 3 \cdot 10^6$$

Горизонтальная сила P , тс, и изгибающий момент M , тс·м, действующие на оголовок сваи:

$$P := 10 \quad M := 1$$

Параметры, характеризующие деформационные характеристики грунта: модуль деформации E_0 , тс/ m^2 , и коэффициент поперечных деформаций μ (коэффициент Пуассона). Их принимаем ориентировочно по нормативам [4, 5] как для песков средней крупности четвертичных отложений с коэффициентом пористости 0,55. Тогда модуль деформации будет составлять 40 МПа (около 4000 тс/ m^2), коэффициент Пуассона – 0,3:

$$E_0 := 4000 \quad \mu := 0.3$$

Вводим количество расчетных участков n , равное целому числу (для удобства принимаем $n = 10$). На основании этого определяются длины расчетных участков c , m , а также размерность в дальнейшем составляемой системы уравнений (индексы k и i):

$$n := 10 \quad c := \frac{Lsp}{n}$$

$$k := 0..(n-1) \quad i := 0..(n-1)$$

На этом ввод исходных данных в программу заканчивается. Вводимые далее формулы в корректировке не нуждаются.

Вектора со значениями глубин рассматриваемых точек от поверхности a_k и от середины верхнего участка a_k^0 , m :

$$a_k := \frac{c}{2} + k \cdot c \quad a_k^0 := k \cdot c$$

Введем вспомогательные обозначения, предложенные Б. Н. Жемочкиным: коэффициенты $\xi_{k,i}$, $\zeta_{k,i}$, η [1, с. 21] и α [1, с. 31]:

$$\xi_k := \frac{a_k}{c} \quad \zeta_{k,i} := \frac{a_i - a_k}{c} \quad \eta := \frac{bp}{c} \quad \alpha := \frac{4 \cdot \pi \cdot E0 \cdot (1 - \mu) \cdot c^4}{3 \cdot (1 + \mu) \cdot (3 - 4 \cdot \mu) \cdot Ep \cdot Ip}$$

Составим матрицы со значениями вспомогательных функций $F_{k,i}^I$, $F_{k,i}^{II}$ и $F_{k,i}^{III}$ [1, с. 24–25]. Функцию $F_{k,i}^I$ для удобства восприятия разобьем на шесть слагаемых с учетом того, что элементы матрицы, расположенные на главной диагонали (при $k = i$), вычисляются по иной формуле:

$$FI1_{k,i} := \begin{cases} \left(\frac{2 \cdot \zeta_{k,i} + 1}{\eta} \right) \cdot \ln \left[\left(\frac{\eta}{2 \cdot \zeta_{k,i} + 1} \right) + \sqrt{\left(\frac{\eta}{2 \cdot \zeta_{k,i} + 1} \right)^2 + 1} \right] & \text{if } k \neq i \\ \ln(1 + \sqrt{\eta^2 + 1}) + \frac{1}{\eta} \cdot \ln(\eta + \sqrt{\eta^2 + 1}) - \ln(\eta) & \text{otherwise} \end{cases}$$

$$FI2_{k,i} := \begin{cases} - \left(\frac{2 \cdot \zeta_{k,i} - 1}{\eta} \right) \cdot \ln \left[\left(\frac{\eta}{2 \cdot \zeta_{k,i} - 1} \right) + \sqrt{\left(\frac{\eta}{2 \cdot \zeta_{k,i} - 1} \right)^2 + 1} \right] & \text{if } k \neq i \\ \ln(1 + \sqrt{\eta^2 + 1}) + \frac{1}{\eta} \cdot \ln(\eta + \sqrt{\eta^2 + 1}) - \ln(\eta) & \text{otherwise} \end{cases}$$

$$FI3_{k,i} := \begin{cases} \ln \left[\frac{\left(\frac{2 \cdot \zeta_{k,i} + 1}{\eta} \right) + \sqrt{\left(\frac{2 \cdot \zeta_{k,i} + 1}{\eta} \right)^2 + 1}}{\left(\frac{2 \cdot \zeta_{k,i} - 1}{\eta} \right) + \sqrt{\left(\frac{2 \cdot \zeta_{k,i} - 1}{\eta} \right)^2 + 1}} \right] & \text{if } k \neq i \\ 0 & \text{otherwise} \end{cases}$$

$$FI4_{k,i} := \begin{cases} \left(\frac{4 \cdot \xi_i - 2 \cdot \zeta_{k,i} + 1}{\eta} \right) \cdot \ln \left[\left(\frac{\eta}{4 \cdot \xi_i - 2 \cdot \zeta_{k,i} + 1} \right) + \sqrt{\left(\frac{\eta}{4 \cdot \xi_i - 2 \cdot \zeta_{k,i} + 1} \right)^2 + 1} \right] & \text{if } k \neq i \\ \left(\frac{4 \cdot \xi_i + 1}{\eta} \right) \cdot \ln \left[\left(\frac{\eta}{4 \cdot \xi_i + 1} \right) + \sqrt{\left(\frac{\eta}{4 \cdot \xi_i + 1} \right)^2 + 1} \right] & \text{otherwise} \end{cases}$$

$$FI5_{k,i} := \begin{cases} -\left(\frac{4 \cdot \xi_i - 2 \cdot \zeta_{k,i} - 1}{\eta}\right) \cdot \ln \left[\left(\frac{\eta}{4 \cdot \xi_i - 2 \cdot \zeta_{k,i} - 1}\right) + \sqrt{\left(\frac{\eta}{4 \cdot \xi_i - 2 \cdot \zeta_{k,i} - 1}\right)^2 + 1} \right] & \text{if } k \neq i \\ -\left(\frac{4 \cdot \xi_i - 1}{\eta}\right) \cdot \ln \left[\left(\frac{\eta}{4 \cdot \xi_i - 1}\right) + \sqrt{\left(\frac{\eta}{4 \cdot \xi_i - 1}\right)^2 + 1} \right] & \text{otherwise} \end{cases}$$

$$FI6_{k,i} := \begin{cases} \ln \left[\frac{\left(\frac{4 \cdot \xi_i - 2 \cdot \zeta_{k,i} + 1}{\eta}\right) + \sqrt{\left(\frac{4 \cdot \xi_i - 2 \cdot \zeta_{k,i} + 1}{\eta}\right)^2 + 1}}{\left(\frac{4 \cdot \xi_i - 2 \cdot \zeta_{k,i} - 1}{\eta}\right) + \sqrt{\left(\frac{4 \cdot \xi_i - 2 \cdot \zeta_{k,i} - 1}{\eta}\right)^2 + 1}} \right] & \text{if } k \neq i \\ \ln \left[\frac{\left(\frac{4 \cdot \xi_i + 1}{\eta}\right) + \sqrt{\left(\frac{4 \cdot \xi_i + 1}{\eta}\right)^2 + 1}}{\left(\frac{4 \cdot \xi_i - 1}{\eta}\right) + \sqrt{\left(\frac{4 \cdot \xi_i - 1}{\eta}\right)^2 + 1}} \right] & \text{otherwise} \end{cases}$$

$$FI := FI1 + FI2 + FI3 + FI4 + FI5 + FI6$$

Функции $F_{k,i}^{\text{II}}$ и $F_{k,i}^{\text{III}}$ имеют более простую запись:

$$FII_{k,i} := \begin{cases} \frac{2 \cdot \xi_i (\xi_i - \zeta_{k,i})}{(2 \cdot \xi_i - \zeta_{k,i})^3} & \text{if } k \neq i \\ \frac{1}{4 \cdot \xi_i} & \text{otherwise} \end{cases} \quad FIII_{k,i} := \begin{cases} \frac{2}{2 \cdot \xi_i - \zeta_{k,i}} & \text{if } k \neq i \\ \frac{1}{\xi_i} & \text{otherwise} \end{cases}$$

Матрица $\bar{\omega}_{k,i}$, выражающая прогибы k -ой точки от единичной силы, приложенной в i -ой точке, для стержня, заземленного в точке 0:

$$\omega1_{k,i} := \begin{cases} \left(\frac{a0_k}{c}\right)^2 \cdot \left(3 \cdot \frac{a0_i}{c} - \frac{a0_k}{c}\right) & \text{if } k \leq i \\ \left(\frac{a0_i}{c}\right)^2 \cdot \left(3 \cdot \frac{a0_k}{c} - \frac{a0_i}{c}\right) & \text{otherwise} \end{cases}$$

Матрица $\delta_{k,i}$, выражающая суммарные перемещения k -ой точки от единичной силы, приложенной в i -ой точке, для стержня в упругой среде:

$$\delta_{k,i} := FI_{k,i} + \frac{1}{3 - 4 \cdot \mu} \cdot FII_{k,i} + \frac{\mu \cdot (1 - 2 \cdot \mu)}{3 - 4 \cdot \mu} \cdot FIII_{k,i} + \alpha \cdot \omega1_{k,i}$$

Матрица коэффициентов MA при неизвестных силах X_k , углах поворота ϕ_0 и перемещениях u_0 , а также вектор внешних воздействий VP :

MA := for k ∈ 0..(n + 1)

for i ∈ 0..(n + 1)

$$\left\{ \begin{array}{l} M_{k,i} \leftarrow \delta_{k,i} \text{ if } k \leq (n-1) \wedge i \leq (n-1) \\ M_{k,i} \leftarrow a0_k \text{ if } k \leq (n-1) \wedge i = n \\ M_{k,i} \leftarrow a0_i \text{ if } k = n \wedge i \leq (n-1) \\ M_{k,i} \leftarrow 1 \text{ if } k \leq (n-1) \wedge i = (n+1) \\ M_{k,i} \leftarrow 1 \text{ if } k = (n+1) \wedge i \leq (n-1) \\ M_{k,i} \leftarrow 0 \text{ otherwise} \end{array} \right.$$

VP := for k ∈ 0..(n + 1)

$$\left\{ \begin{array}{l} VP_k \leftarrow P \cdot \left(\frac{c}{2} + Lhp \right) + M \text{ if } k = n \\ VP_k \leftarrow -P \text{ if } k = (n+1) \\ VP_k \leftarrow 0 \text{ otherwise} \end{array} \right.$$

Через умножение обратной матрицы коэффициентов $-MA^{-1}$ на вектор внешних воздействий VP находим вектор неизвестных VX :

$$VX := -MA^{-1} \cdot VP$$

Выделяем из вектора VX искомые силы X_k , а также действительный угол поворота ϕ_0^d , рад., и действительное перемещение u_0^d , м, в точке 0:

X := for k ∈ 0..(n - 1)

$$X_k \leftarrow VX_k$$

$$\phi_0 := \frac{(1 + \mu) \cdot (3 - 4\mu)}{8 \cdot \pi \cdot E0 \cdot (1 - \mu) \cdot c} \cdot VX_n \quad \phi_0 = 2.189 \times 10^{-3}$$

$$u_0 := \frac{(1 + \mu) \cdot (3 - 4\mu)}{8 \cdot \pi \cdot E0 \cdot (1 - \mu) \cdot c} \cdot VX_{n+1} \quad u_0 = -2.479 \times 10^{-3}$$

Зная силы X_k , можно вычислить действительные перемещения u_k^d :

u := for k ∈ 0..(n - 1)

for i ∈ 0..(n - 1)

$$u_k \leftarrow \frac{(1 + \mu) \cdot (3 - 4\mu)}{8 \cdot \pi \cdot E0 \cdot (1 - \mu) \cdot c} \cdot \sum_{i=0}^{n-1} \left[X_i \cdot \left[FI_{k,i} + \frac{1}{3 - 4\mu} \cdot FII_{k,i} + \frac{\mu \cdot (1 - 2\mu)}{3 - 4\mu} \cdot FIII_{k,i} \right] \right]$$

Результаты вычислений перемещений точек аналитическим методом u_k^d представлены в таблице 1.

Произведем аналогичный расчет сваи методом конечных элементов (МКЭ), используя программный комплекс ЛИРА 10.6[6]. В массив грунта размером 20×20×20 м из объемных конечных элементов КЭ36 поместим стержень (КЭ10), на который прикладываем нагрузку.

Общий вид расчетной схемы представлен на рис. 1. Результаты вычислений перемещений аналогичных точек методом конечных элементов $u_k^{МКЭ}$ представлены в таблице 1.

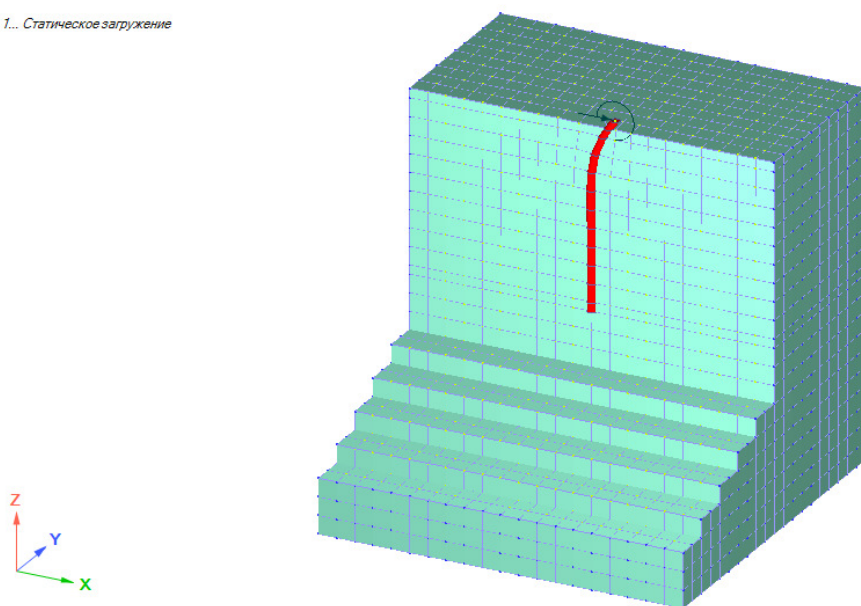


Рис. 1. Деформированная расчетная схема по результатам расчетов в ПК ЛИРА 10.6 (часть конечных элементов грунта скрыта)

Таблица 1
Сравнение результатов вычислений перемещений

k	0	1	2	3	4	5	6	7	8	9
a_k , м	0,5	1,5	2,5	3,5	4,5	5,5	6,5	7,5	8,5	9,5
$u_k^д$, мм	2,479	0,847	0,131	-0,063	-0,049	0,010	0,052	0,070	0,073	0,069
$u_k^{МКЭ}$, мм	1,977	0,639	0,041	-0,120	-0,104	-0,051	-0,013	0,004	0,007	0,005

Сравнивая результаты расчетов аналитическим методом и методом конечных элементов, видно, что перемещения в ключевых точках вполне сопоставимы. Разработанную программу в Mathcad можно использовать в практических расчетах для предварительного определения сечения и длины сваи, воспринимающей горизонтальные нагрузки.

Список литературы

1. Жемочкин Б. Н. Расчет упругой заделки стержня (Изгиб стержня в упругом полупространстве) / проф. Б. Н. Жемочкин. М. : Стройиздат, 1948. 68 с.
2. Макаров Е. Г. Инженерные расчеты в Mathcad. Учебный курс. СПб. : Питер, 2005. 448 с.
3. СП 63.13330.2012. Бетонные и железобетонные конструкции. Основные положения. Актуализированная редакция СНиП 52-01-2003. М. : ФАУ «ФЦС», 2012. 156 с.
4. СП 22.13330.2011. Основания зданий и сооружений. Актуализированная редакция СНиП 2.02.01-83. М. : ОАО «ЦПП», 2011. 162 с.
5. СП 24.13330.2011. Свайные фундаменты. Актуализированная редакция СНиП 2.02.03-85. М. : ОАО «ЦПП», 2011. 87 с.
6. Введение в программный комплекс ЛИРА 10.4 : учеб. пособие / О. А. Ковальчук, А. В. Колесников, Е. М. Русанова [и др.]. М. : НИУ МГСУ, 2015. URL: <http://lira-soft.com/download/metodpos/index.php>